



Mecânica do Voo

Derivada de vetor





Notação

- S_x - Um sistema de referência x . Exemplos: NED, b (corpo), ECEF, ECI, i (inercial – ECI ou NED conforme o caso), e (Earth, qualquer referencial fixo à Terra – na disciplina, sempre ECEF)
- D_y^x - Matriz de rotação (DCM) que rotaciona de S_x para S_y
- \mathbf{v}_x - Vetor representado em S_x
- $\boldsymbol{\omega}_z^{xy}$ - Vetor velocidade angular entre os sistemas de referência S_x e S_y , representado em S_z
- $\left. \frac{d\mathbf{v}_x}{dt} \right|_{S_x} = \dot{\mathbf{v}}_x$ - Derivada de \mathbf{v} , avaliada e representada em S_x

Derivada do Vetor

- Seja um vetor \mathbf{v} , que é observado em dois sistemas coordenados distintos S_a e S_b , em que um pode estar rotacionando quando comparado ao outro. Veja que, apesar de

$$\mathbf{v}_b = \mathbf{D}_b^a \mathbf{v}_a,$$

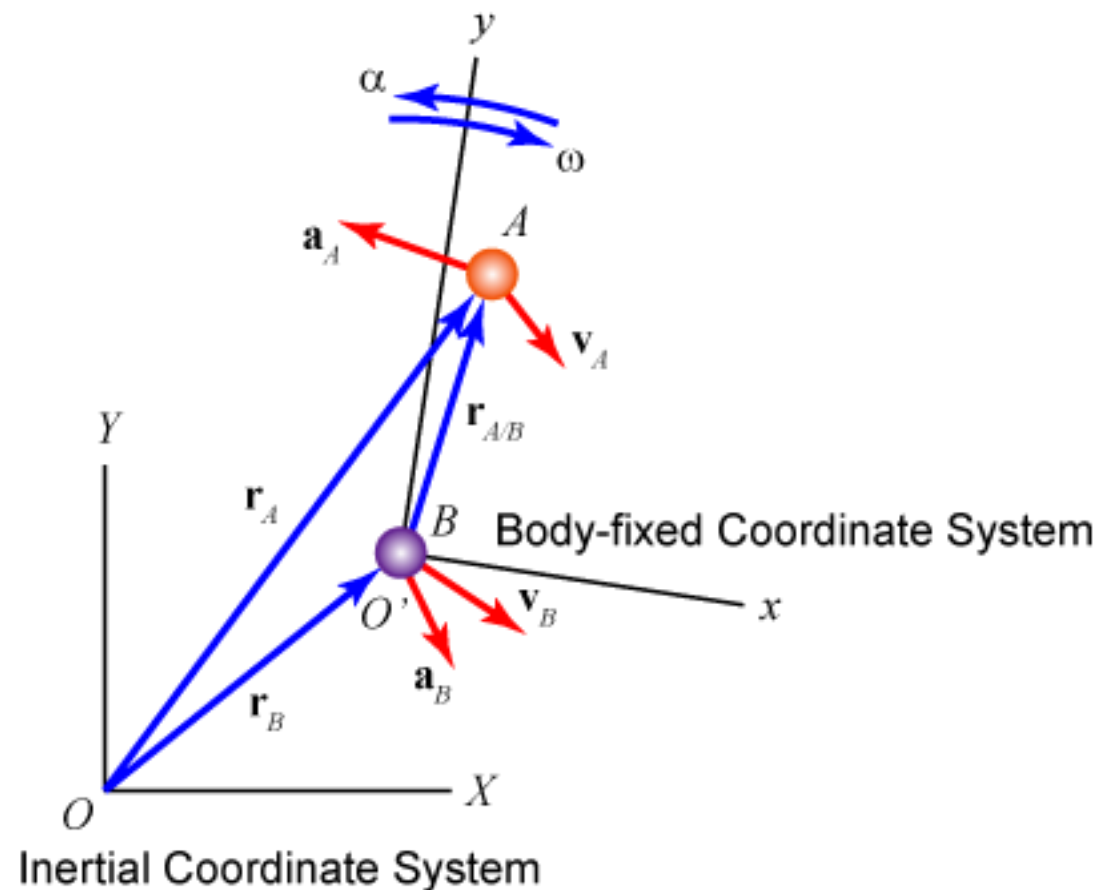
- temos que

$$\dot{\mathbf{v}}_b \neq \mathbf{D}_b^a \dot{\mathbf{v}}_a$$

- Na verdade, pela regra da cadeia (derivada):

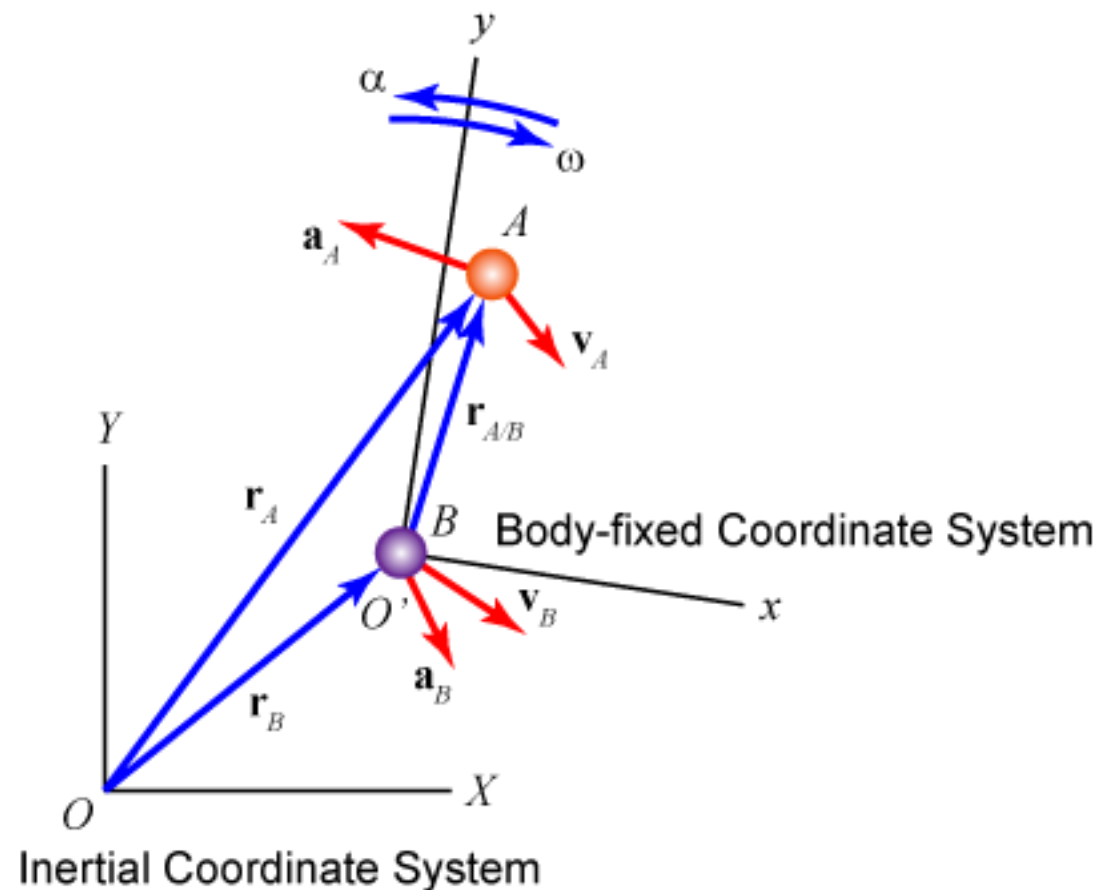
$$\dot{\mathbf{v}}_b = \mathbf{D}_b^a \dot{\mathbf{v}}_a + \dot{\mathbf{D}}_b^a \mathbf{v}_a$$

- Pois os ângulos de Euler não são mais constantes e, por isso, \mathbf{D}_b^a não é constante.



Derivada do Vetor

- Exemplo físico: imagine que você está em um brinquedo gira-gira em movimento. A pessoa ao seu lado parece parada para você, mas para um observador externo, ambos giram. A velocidade (derivada da posição) é nula em seu referencial, mas é não-nula no referencial do observador externo.



Derivada do Vetor

- É possível mostrar que (teorema de Coriolis)

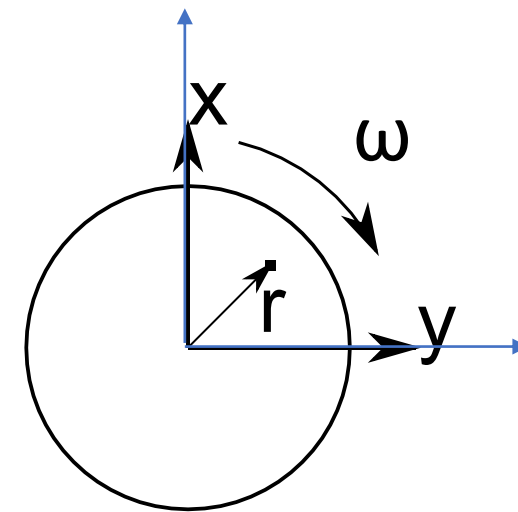
$$\left. \frac{d\mathbf{v}}{dt} \right|_{S_b} = \left. \frac{d\mathbf{v}}{dt} \right|_{S_a} + \boldsymbol{\omega}^{ab} \times \mathbf{v}$$

- Ou, em uma notação mais compacta

$$\dot{\mathbf{v}}_b = \dot{\mathbf{v}}_a + \boldsymbol{\omega}^{ab} \times \mathbf{v}$$

- Ou seja, a derivada do vetor em S_b pode ser obtida utilizando a derivada em S_a mais uma compensação que é função da velocidade angular relativa entre os sistemas de coordenadas e o valor do vetor.
- Veja que não é informado o sistema de referência: pode-se usar qualquer um, desde que seja o mesmo em toda a equação. Por exemplo, se desejamos $\dot{\mathbf{v}}_b$ representado em S_a

$$\mathbf{D}_a^b \dot{\mathbf{v}}_b = \dot{\mathbf{v}}_a + \boldsymbol{\omega}_a^{ab} \times \mathbf{v}_a$$





Coriolis

- Aplicação do teorema de Coriolis* – verificar qual a velocidade e aceleração inerciais a partir de informações no sistema do corpo
- Fonte: <ftp://labattmot.ele.ita.br/ele/jacques/CursoNaveg/ApostilaNavegacao/CAP2E3.PDF>
- Seja um vetor posição \mathbf{r} que indica a posição de um corpo em um sistema de coordenadas inercial (chamaremos genericamente de S_i). O sistema está em um referencial girante S_G
- Deseja-se saber a velocidade e aceleração inercial desse objeto.
- Exemplo: sei a velocidade e aceleração de um avião em relação ao solo, e quero saber o movimento inercial
- * Veja que o teorema, e seus efeitos, valem para qualquer sistema girante (exemplo: brinquedo gira gira). Não é uma propriedade específica do planeta Terra girante.



Coriolis

$$\dot{\mathbf{r}}_i = \dot{\mathbf{r}}_G + \boldsymbol{\omega}^{Gi} \times \mathbf{r}$$

- Pode-se definir a velocidade relativa ao sistema girante $\mathbf{V}_G = \dot{\mathbf{r}}_G$:

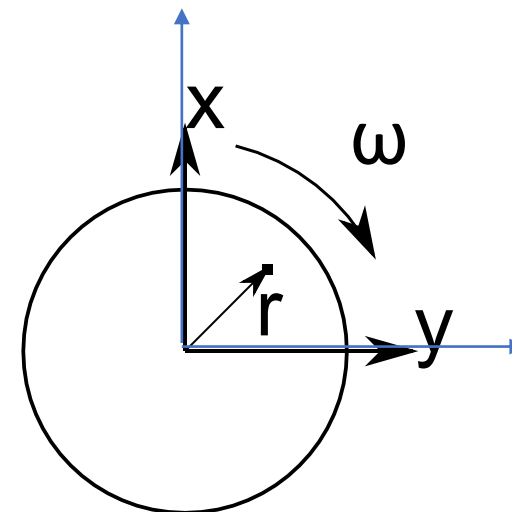
$$\dot{\mathbf{r}}_i = \mathbf{V}_G + \boldsymbol{\omega}^{Gi} \times \mathbf{r}$$

- Ou seja: velocidade inercial é a velocidade relativa mais velocidade causada pela rotação do sistema.
- Exemplo: a velocidade inercial de um carro, na Terra, é a velocidade do carro em relação ao chão mais a velocidade do chão em relação ao sistema inercial (centro da Terra)
- A velocidade do chão é causada pela rotação $\boldsymbol{\omega}^{Gi}$ da Terra aplicada ao “braço de alavanca” \mathbf{r} cuja magnitude é aproximadamente o raio da Terra

Coriolis

- Exemplo: ponto em um disco girando (ex: brinquedo gira-gira)
- Sistema “inercial”: superfície terrestre
- Sistema girante: disco

Exemplo 1 – Assuma sistemas de referência instantaneamente alinhados



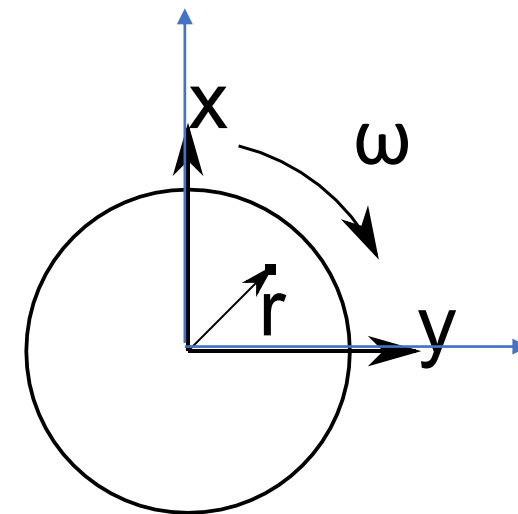
$$\boldsymbol{\omega}^{Gi} = [0 \ 0 \ 1]^T \text{ rad/s}, \quad \mathbf{r} = [1 \ 0 \ 0]^T \text{ m}, \quad \mathbf{V}_G = [0 \ 0 \ 0]^T \text{ m/s}$$

- Então:

$$\dot{\mathbf{r}}_i = \mathbf{V}_G + \boldsymbol{\omega}^{Gi} \times \mathbf{r}$$

Coriolis

- Exemplo: ponto em um disco girando (ex: brinquedo gira-gira)
- Sistema “inercial”: superfície terrestre
- Sistema girante: disco



Exemplo 1 – Assuma sistemas de referência instantaneamente alinhados

$$\boldsymbol{\omega}^{Gi} = [0 \ 0 \ 1]^T \text{ rad/s}, \quad \mathbf{r} = [1 \ 0 \ 0]^T \text{ m}, \quad \mathbf{V}_G = [0 \ 0 \ 0]^T \text{ m/s}$$

- Então:

$$\dot{\mathbf{r}}_i = \mathbf{V}_G + \boldsymbol{\omega}^{Gi} \times \mathbf{r}$$

$$\dot{\mathbf{r}}_i = \mathbf{V}_G + \boldsymbol{\omega}^{Gi} \times \mathbf{r} = \begin{bmatrix} 0 \\ 0 \\ 0 \end{bmatrix} + \begin{bmatrix} 0 & -1 & 0 \\ 1 & 0 & 0 \\ 0 & 0 & 0 \end{bmatrix} \begin{bmatrix} 1 \\ 0 \\ 0 \end{bmatrix} = \begin{bmatrix} 0 \\ 1 \\ 0 \end{bmatrix} \text{ m/s}$$

Coriolis

Exemplo 2:

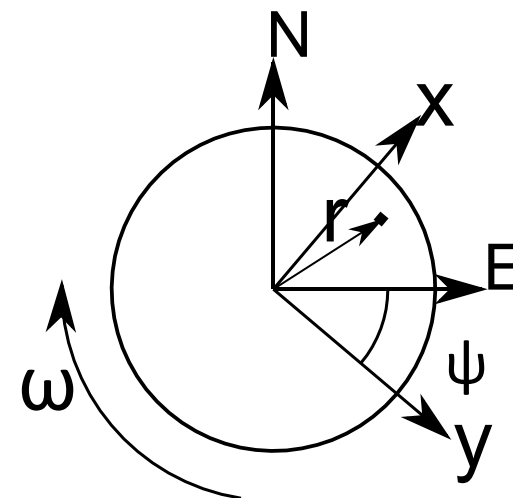
$$\boldsymbol{\omega}^{Gi} = [0 \ 0 \ 1]^T \text{ rad/s}, \quad \mathbf{r} = [1 \ 0 \ 0]^T \text{ m}, \quad \mathbf{V}_G = [0 \ 0 \ 0]^T \text{ m/s}, \quad \psi \neq 0^\circ$$

- Então:

$$\dot{\mathbf{r}}_i = \mathbf{V}_G + \boldsymbol{\omega}^{Gi} \times \mathbf{r}$$

- Achar primeiro a matriz de rotação

$$\mathbf{D}_i^G = \begin{bmatrix} \cos \Psi & -\sin \Psi & 0 \\ \sin \Psi & \cos \Psi & 0 \\ 0 & 0 & 1 \end{bmatrix}$$



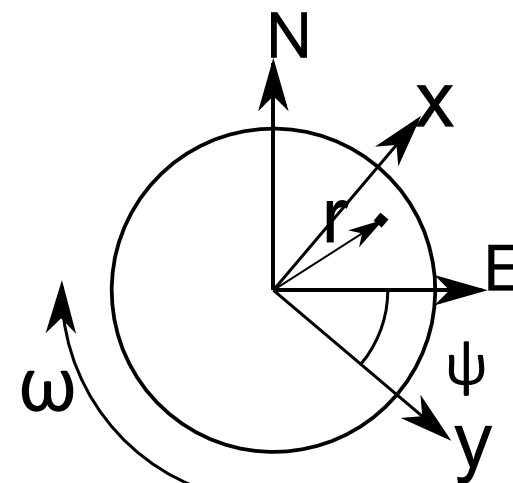
Coriolis

Exemplo 2:

- Veja que podemos fazer as contas em qualquer sistema de referência. Entretanto, faz sentido que a resposta final seja descrita no referencial inercial:

$$\dot{\mathbf{r}}_i = \mathbf{D}_i^G (\mathbf{V}_G + \boldsymbol{\omega}^{Gi} \times \mathbf{r})$$

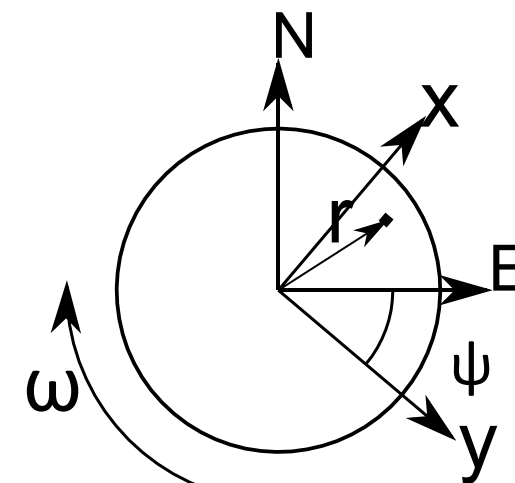
$$\dot{\mathbf{r}}_i = \mathbf{V}_i = \mathbf{D}_i^G \left(\begin{bmatrix} 0 \\ 0 \\ 0 \end{bmatrix} + \begin{bmatrix} 0 & -1 & 0 \\ 1 & 0 & 0 \\ 0 & 0 & 0 \end{bmatrix} \begin{bmatrix} 1 \\ 0 \\ 0 \end{bmatrix} \right) = \mathbf{D}_i^G \begin{bmatrix} 0 \\ 1 \\ 0 \end{bmatrix} = \begin{bmatrix} -\sin \psi \\ \cos \psi \\ 0 \end{bmatrix} \text{ m/s}$$



Coriolis

- Observações sobre o exemplo 2:
- $V_G = [0 \ 0 \ 0]^T$ indica que a pessoa não se move em relação ao brinquedo gira gira. Por exemplo, ela se mantém sentada sempre na mesma cadeira.

- $V_i = \begin{bmatrix} -\sin \psi \\ \cos \psi \\ 0 \end{bmatrix}$ indica que, alguém olhando de fora, vê a pessoa com uma velocidade de $-\sin \psi$ na direção norte (ou seja, $\sin \psi$ na direção sul) e $\cos \psi$ na direção leste.



Coriolis

- Aplicando a segunda derivada em $\dot{\mathbf{r}}_i = \mathbf{V}_G + \boldsymbol{\omega}^{Gi} \times \mathbf{r}$

$$\ddot{\mathbf{r}}_i = \frac{d}{dt} (\mathbf{V}_G + \boldsymbol{\omega}^{Gi} \times \mathbf{r}) \Big|_{S_I} = \frac{d}{dt} (\mathbf{V}_G) \Big|_{S_I} + \frac{d}{dt} (\boldsymbol{\omega}^{Gi} \times \mathbf{r}) \Big|_{S_I}$$

$$\ddot{\mathbf{r}}_i = \dot{\mathbf{V}}_G + \boldsymbol{\omega}^{Gi} \times \mathbf{V}_G + \dot{\boldsymbol{\omega}}^{Gi}_G \times \mathbf{r} + \boldsymbol{\omega}^{Gi} \times \mathbf{V}_G + \boldsymbol{\omega}^{Gi} \times (\boldsymbol{\omega}^{Gi} \times \mathbf{r})$$

- Reorganizando

$$\ddot{\mathbf{r}}_i = \dot{\mathbf{V}}_G + 2\boldsymbol{\omega}^{Gi} \times \mathbf{V} + \dot{\boldsymbol{\omega}}^{Gi}_G \times \mathbf{r} + \boldsymbol{\omega}^{Gi} \times (\boldsymbol{\omega}^{Gi} \times \mathbf{r})$$

- Veja que

$$\dot{\boldsymbol{\omega}}^{Gi}_i = \dot{\boldsymbol{\omega}}^{Gi}_G + \boldsymbol{\omega}^{Gi} \times \boldsymbol{\omega}^{Gi} = \dot{\boldsymbol{\omega}}^{Gi}_G$$

- Então

Coriolis

$$\ddot{\mathbf{r}}_i = \dot{\mathbf{V}}_G + 2\boldsymbol{\omega}^{Gi} \times \mathbf{V} + \dot{\boldsymbol{\omega}}^{Gi}_G \times \mathbf{r} + \boldsymbol{\omega}^{Gi} \times (\boldsymbol{\omega}^{Gi} \times \mathbf{r})$$

- $\ddot{\mathbf{r}}_i \rightarrow$ Aceleração inercial, “verdadeira”
- $\dot{\mathbf{V}}_G = \ddot{\mathbf{r}}_G \rightarrow$ Aceleração “aparente”, computada no sistema girante
- $2\boldsymbol{\omega}^{Gi} \times \mathbf{V} \rightarrow$ Aceleração de Coriolis
- $\dot{\boldsymbol{\omega}}^{Gi}_G \times \mathbf{r} = \dot{\boldsymbol{\omega}}^{Gi}_i \times \mathbf{r} \rightarrow$ Aceleração devido a mudança na velocidade angular do sistema girante (Aceleração tangencial)
- $\boldsymbol{\omega}^{Gi} \times (\boldsymbol{\omega}^{Gi} \times \mathbf{r}) \rightarrow$ Aceleração centrípeta
- **Obs:** calcular $\boldsymbol{\omega}^{Gi} \times (\boldsymbol{\omega}^{Gi} \times \mathbf{r})$, não $(\boldsymbol{\omega}^{Gi} \times \boldsymbol{\omega}^{Gi}) \times \mathbf{r}$, pois o segundo caso erroneamente resulta em zero
- Destaca-se novamente que o efeito Coriolis é para qualquer referencial girante, e não necessariamente apenas para a rotação da Terra.

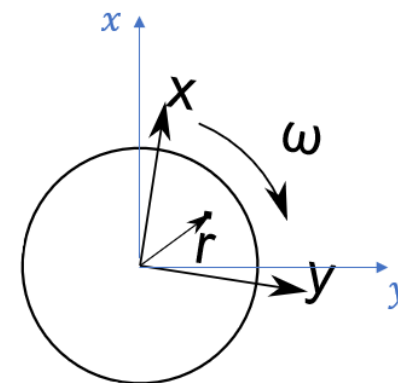
Coriolis

Exemplo: Considere que a aceleração inercial de uma mosca sobre um disco girante é representada pela seguinte equação:

$$\ddot{\mathbf{r}} = \dot{\mathbf{V}} + 2\boldsymbol{\omega}^{Gi} \times \mathbf{V} + \dot{\boldsymbol{\omega}}^{Gi} \times \mathbf{r} + \boldsymbol{\omega}^{Gi} \times (\boldsymbol{\omega}^{Gi} \times \mathbf{r})$$

Examine as componentes da aceleração sofrida pela mosca quando ela

- Está estacionada sobre o disco que gira com velocidade angular $\boldsymbol{\omega}^{Gi}$ constante.
- Está estacionada sobre o disco que gira com velocidade angular $\boldsymbol{\omega}^{Gi} = \mathbf{f}(\mathbf{t})$ variável.
- Se move com velocidade aparente $\mathbf{V} = \mathbf{g}(\mathbf{t})$ sobre o disco que gira com velocidade angular $\boldsymbol{\omega}^{Gi}$ constante.
- Se move com velocidade aparente $\mathbf{V} = \mathbf{g}(\mathbf{t})$ sobre o disco que gira com velocidade angular $\boldsymbol{\omega}^{Gi} = \mathbf{f}(\mathbf{t})$ variável.



Movimento de Translação

- Momento linear:

$$\mathbf{p} = m\dot{\mathbf{r}}_i$$

- Segunda lei de Newton:

$$\sum \mathbf{F} = \dot{\mathbf{p}} = \frac{d}{dt} (m\dot{\mathbf{r}}_i) \Big|_{S_i} = \dot{m}\dot{\mathbf{r}}_i + m\ddot{\mathbf{r}}_i$$

- Que pode ser entendida como: o somatório de forças é igual a derivada do momento linear avaliada em um referencial inercial
- Em um míssil ou foguete, o termo $\dot{m}\dot{\mathbf{r}}_i$ é relevante. Em sistemas com massa (quase) constante (avião, problemas de física usuais do ensino médio), esse termo pode ser desprezado.
- Usualmente não se dá a ênfase necessária que o sistema de referência deve ser inercial.
- Com ambos os comentários anteriores, chega-se a equação conhecida $\sum \mathbf{F} = m\mathbf{a}$



Movimento de Translação

- Fontes de força em uma aeronave de asa fixa
- Propulsão/empuxo: hélice ou turbina, fixa ao corpo da aeronave, rotacionando com ela. Força descrita mais facilmente em S_b
- Forças aerodinâmicas: dependem do formato da aeronave, posição de superfícies de controle (aileron, profundor, leme) e do fluxo de ar. Forças descritas mais facilmente em S_w , mas que podem ser descritas também em S_b
- Atração gravitacional: descrita melhor em S_{NED} . Considerando $\dot{m} = 0$ e as forças:
- F_a somatório de forças aerodinâmicas
- F_p somatório de forças de propulsão
- mg atração gravitacional

$$\sum \mathbf{F} = \mathbf{F}_a + \mathbf{F}_p + m\mathbf{g} \rightarrow \ddot{\mathbf{r}}_i = \frac{\mathbf{F}_a + \mathbf{F}_p}{m} + \mathbf{g}$$



Movimento de Translação

- Teremos que fazer uma dedução utilizando 3 sistemas de referência pois:
- Deve-se ter um sistema inercial (S_{ECI}) em que valham as leis de Newton. Para uma notação mais compacta, chamaremos de S_i
- A velocidade do avião é descrita em relação à superfície de uma terra esférica (S_{ECEF}), que gira em relação ao S_{ECI} com velocidade ω^{ei} . Para uma notação mais compacta, chamaremos de S_e
- Forças são descritas principalmente em S_b .
- A velocidade angular do sistema S_b em relação ao sistema inercial é:
- $\omega^{bi} = \omega^{be} + \omega^{ei}$
- Obs: ω^{ei} é conhecido: $\omega_e^{ei} = \left[0 \ 0 \ \frac{2\pi}{24h}\right]^T$, ω^{bi} se mede com girômetros, $\omega^{be} = \omega^{bi} - \omega^{ei}$



Movimento de Translação

- Deduzindo novamente o efeito de Coriolis, mas com sistemas de referência apropriados para o problema
- A velocidade $\mathbf{V} = \dot{\mathbf{r}}_e$ é a velocidade do avião em relação à Terra (se $\dot{\mathbf{r}}_e \neq \vec{0}$, latitude e/ou longitude e/ou altitude variam com o tempo).

- Primeira derivada: velocidade inercial

$$\dot{\mathbf{r}}_i = \mathbf{V} + \boldsymbol{\omega}^{ei} \times \mathbf{r}$$

- Forças aerodinâmicas e de propulsão promovem aceleração no sistema de referência da aeronave, ou seja, $\mathbf{a} = \dot{\mathbf{V}}_b$. Aplicando a segunda derivada em relação ao sistema inercial ECI

$$\ddot{\mathbf{r}}_i = \mathbf{a} + \boldsymbol{\omega}^{bi} \times \mathbf{V} + \dot{\boldsymbol{\omega}}^{ei} \times \mathbf{r} + \boldsymbol{\omega}^{ei} \times \mathbf{V} + \boldsymbol{\omega}^{ei} \times (\boldsymbol{\omega}^{ei} \times \mathbf{r})$$

- Considerando que a Terra gira com velocidade constante, e reorganizando

$$\ddot{\mathbf{r}}_i = \mathbf{a} + (\boldsymbol{\omega}^{bi} + \boldsymbol{\omega}^{ei}) \times \mathbf{V} + \boldsymbol{\omega}^{ei} \times (\boldsymbol{\omega}^{ei} \times \mathbf{r})$$



Movimento de Translação

- Substituindo

$$\ddot{\mathbf{r}}_i = \frac{\mathbf{F}_a + \mathbf{F}_p}{m} + \mathbf{g}$$

- Em

$$\ddot{\mathbf{r}}_i = \mathbf{a} + (\boldsymbol{\omega}^{bi} + \boldsymbol{\omega}^{ei}) \times \mathbf{V} + \boldsymbol{\omega}^{ei} \times (\boldsymbol{\omega}^{ei} \times \mathbf{r})$$

- Obtém-se:

$$\frac{\mathbf{F}_a + \mathbf{F}_p}{m} + \mathbf{g} = \mathbf{a} + (\boldsymbol{\omega}^{bi} + \boldsymbol{\omega}^{ei}) \times \mathbf{V} + \boldsymbol{\omega}^{ei} \times (\boldsymbol{\omega}^{ei} \times \mathbf{r})$$

- Reordenando

$$\mathbf{a} = \frac{1}{m}(\mathbf{F}_a + \mathbf{F}_p) - (\boldsymbol{\omega}^{bi} + \boldsymbol{\omega}^{ei}) \times \mathbf{V} + [\mathbf{g} - \boldsymbol{\omega}^{ei} \times (\boldsymbol{\omega}^{ei} \times \mathbf{r})]$$

Movimento de Translação

- A equação abaixo vale para qualquer sistema de referência

$$\mathbf{a} = \frac{1}{m}(\mathbf{F}_a + \mathbf{F}_p) - (\boldsymbol{\omega}^{bi} + \boldsymbol{\omega}^{ei}) \times \mathbf{V} + [\mathbf{g} - \boldsymbol{\omega}^{ei} \times (\boldsymbol{\omega}^{ei} \times \mathbf{r})]$$

- Definindo o sistema de referência como S_b e aplicando transformações de referência onde for apropriado

$$\mathbf{a}_b = \frac{1}{m}(\mathbf{F}_{ba} + \mathbf{F}_{bp}) - (\boldsymbol{\omega}_b^{bi} + \mathbf{D}_b^i \boldsymbol{\omega}_i^{ei}) \times \mathbf{V}_b + \mathbf{D}_b^i [\mathbf{g} - \boldsymbol{\omega}_i^{ei} \times (\boldsymbol{\omega}_i^{ei} \times \mathbf{r}_i)]$$

- Usando $\boldsymbol{\omega}^{bi} = \boldsymbol{\omega}^{be} + \boldsymbol{\omega}^{ei}$

$$\mathbf{a}_b = \frac{1}{m}(\mathbf{F}_{ba} + \mathbf{F}_{bp}) - (\boldsymbol{\omega}^{be} + 2\mathbf{D}_b^i \boldsymbol{\omega}^{ei}) \times \mathbf{V} + \mathbf{D}_b^i [\mathbf{g} - \boldsymbol{\omega}^{ei} \times (\boldsymbol{\omega}^{ei} \times \mathbf{r})]$$

- Obs: Momentos aerodinâmicos causados por $\boldsymbol{\omega}^{be}$ quando se assume que vento está parado em relação à Terra girante, Girômetros medem $\boldsymbol{\omega}^{bi}$
- Momentos aerodinâmicos relevantes apenas quando $\boldsymbol{\omega}^{be} \gg \boldsymbol{\omega}^{ei}$, ou seja, quando $\boldsymbol{\omega}^{be} \approx \boldsymbol{\omega}^{bi}$



Atração Gravitacional

$$\mathbf{g} = -\frac{GM}{\|\mathbf{r}\|^3} \begin{bmatrix} r_x & r_y & r_z \end{bmatrix}^T$$

- GM: Constante gravitacional vezes massa da Terra
- $\|\mathbf{r}\|^2$: Decaimento com o quadrado da distância
- $\frac{GM}{\|\mathbf{r}\|^2}$: Magnitude da atração gravitacional em \mathbf{r}
- $-\frac{\begin{bmatrix} r_x & r_y & r_z \end{bmatrix}^T}{\|\mathbf{r}\|}$: Direção do vetor atração gravitacional (vetor unitário)
- Na prática, fatores como diferença de densidade da Terra, montanhas e outros podem afetar a magnitude e direção da atração gravitacional



Vetor Gravidade

- Definindo

$$\mathbf{g}' = [\mathbf{g} - \boldsymbol{\omega}^{ei} \times (\boldsymbol{\omega}^{ei} \times \mathbf{r})]$$

- \mathbf{g}' : Vetor gravidade

- Tem-se

$$\mathbf{a}_b = \frac{1}{m} (\mathbf{F}_{ba} + \mathbf{F}_{bp}) - (\boldsymbol{\omega}^{be} + 2\mathbf{D}_b^i \boldsymbol{\omega}^{ei}) \times \mathbf{V} + \mathbf{D}_b^i \mathbf{g}'$$

- Veja que $\boldsymbol{\omega}^{ei} \times (\boldsymbol{\omega}^{ei} \times \mathbf{r})$ é a aceleração centrípeta causada pela rotação da Terra.
- \mathbf{g}' possui menor magnitude que \mathbf{g}
- O prumo de pedreiro se alinha com o vetor \mathbf{g}' , de forma que é a definição prática de gravidade.
- O sistema de referência S_{NED} na verdade tem eixo D alinhado com \mathbf{g}'



Vetor Gravidade

- Sabendo que

$$\boldsymbol{\omega}^{ei} = [0 \ 0 \ \omega^{ei}]^T$$

- Tem-se que

$$-\boldsymbol{\omega}^{ei} \times (\boldsymbol{\omega}^{ei} \times \mathbf{r}) = - \begin{bmatrix} 0 & -\omega^{ei} & 0 \\ \omega^{ei} & 0 & 0 \\ 0 & 0 & 0 \end{bmatrix} \begin{bmatrix} 0 & -\omega^{ei} & 0 \\ \omega^{ei} & 0 & 0 \\ 0 & 0 & 0 \end{bmatrix} \begin{bmatrix} r_x \\ r_y \\ r_z \end{bmatrix} = -[\omega^{ei}]^2 \begin{bmatrix} r_x \\ r_y \\ 0 \end{bmatrix}$$

- Veja que a força centrípeta “joga para fora” uma massa na superfície do planeta, em uma direção perpendicular ao eixo de rotação.
- Obs:

$$\mathbf{v}_1 \times \mathbf{v}_2 = [\mathbf{v}_1]_{\times} \mathbf{v}_2 = \begin{bmatrix} 0 & -z_1 & y_1 \\ z_1 & 0 & -x_1 \\ -y_1 & x_1 & 0 \end{bmatrix} \begin{bmatrix} x_2 \\ y_2 \\ z_2 \end{bmatrix}$$



Medida de acelerômetro

- Acelerômetros são usados para medir a aceleração da aeronave. Essa informação é usada para:
- Navegação: saber a posição atual do avião via integração da medida de aceleração e condição inicial
- Controle: mede informação para criar loop de realimentação
- Mas, o que mede o acelerômetro:
- Como está fixo à aeronave (e rotacionando com ela), mede informação representada em S_b
- Mede aceleração absoluta (inercial)
- Mas **não mede** aceleração da gravidade

Exemplos: queda livre, objeto imóvel em balança (peso)

$$\mathbf{a}' = \ddot{\mathbf{r}}_i - \mathbf{g}$$



Medida de acelerômetro

- Sabendo que:

$$\mathbf{a}' = \ddot{\mathbf{r}}_i - \mathbf{g} \quad I$$

$$\ddot{\mathbf{r}}_i = \frac{\mathbf{F}_{ba} + \mathbf{F}_{bp}}{m} + \mathbf{g} \quad II$$

$$\ddot{\mathbf{r}}_i = \mathbf{a} + (\boldsymbol{\omega}^{bi} + \boldsymbol{\omega}^{ei}) \times \mathbf{V} + \boldsymbol{\omega}^{ei} \times (\boldsymbol{\omega}^{ei} \times \mathbf{r}) \quad III$$



Medida de acelerômetro

- Se acelerômetro está exatamente no CG da aeronave, com II em I e a medida é feita em S_b :

$$\mathbf{a}'_b = \frac{\mathbf{F}_{b_a} + \mathbf{F}_{b_p}}{m} + \mathbf{g}_b - \mathbf{g}_b = \frac{\mathbf{F}_{b_a} + \mathbf{F}_{b_p}}{m}$$

$$\mathbf{a}'_b = \frac{\sum \mathbf{F}}{m} - \mathbf{g}_b \quad IV$$

- Ou III em I :

$$\mathbf{a}' = \mathbf{a} + (\boldsymbol{\omega}^{bi} + \boldsymbol{\omega}^{ei}) \times \mathbf{V} + \boldsymbol{\omega}^{ei} \times (\boldsymbol{\omega}^{ei} \times \mathbf{r}) - \mathbf{g}$$

$$\mathbf{a}' = \mathbf{a} + (\boldsymbol{\omega}^{bi} + \boldsymbol{\omega}^{ei}) \times \mathbf{V} - \mathbf{g}' \quad V$$

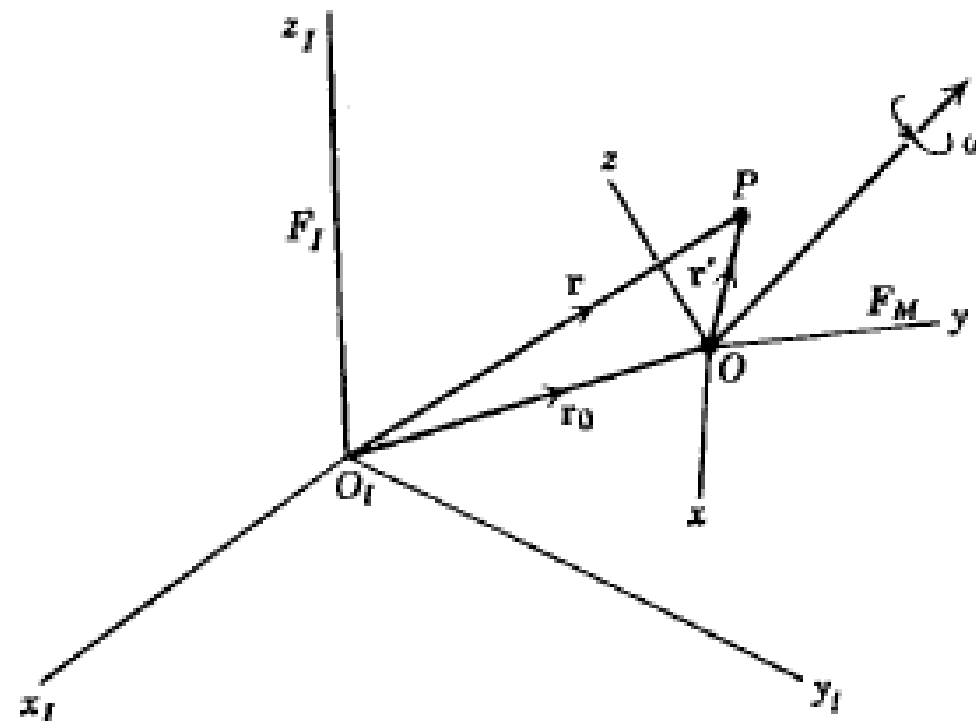


Medida de acelerômetro

- Se acelerômetro está em uma posição \mathbf{r}' em relação ao CG, tem-se

$$\mathbf{r} = \mathbf{r}_0 + \mathbf{r}' \quad VI$$

- \mathbf{r}_0 : posição do CG da aeronave em relação ao centro da Terra





Medida de acelerômetro

$$\mathbf{r} = \mathbf{r}_0 + \mathbf{r}' \quad \text{VI}$$

- Derivada em sistema inercial

$$\dot{\mathbf{r}}_i = \dot{\mathbf{r}}_{0i} + \dot{\mathbf{r}}'_b + \boldsymbol{\omega}^{bi} \times \mathbf{r}' \quad \text{VII}$$

- Como o acelerômetro está fixo à aeronave, $\dot{\mathbf{r}}'_b = \vec{0}$

$$\dot{\mathbf{r}}_i = \dot{\mathbf{r}}_{0i} + \boldsymbol{\omega}^{bi} \times \mathbf{r}' \quad \text{VIII}$$

- Segunda derivada

$$\ddot{\mathbf{r}}_i = \ddot{\mathbf{r}}_{0i} + \dot{\boldsymbol{\omega}}^{bi}_b \times \mathbf{r}' + \boldsymbol{\omega}^{bi} \times (\boldsymbol{\omega}^{bi} \times \mathbf{r}') \quad \text{IX}$$

Medida de acelerômetro

$$\ddot{\mathbf{r}}_i = \ddot{\mathbf{r}}_{0_i} + \dot{\boldsymbol{\omega}}^{bi}_b \times \mathbf{r}' + \boldsymbol{\omega}^{bi} \times (\boldsymbol{\omega}^{bi} \times \mathbf{r}') \quad IX$$

- Veja que $\ddot{\mathbf{r}}_{0_i}$ era $\ddot{\mathbf{r}}_i$ no primeiro modelo de acelerômetro, então já conhecemos seu efeito. A diferença está nos outros termos. Adicionando esses termos à medida de acelerômetro (**IX em I**):

$$\mathbf{a}'_b = \frac{\mathbf{F}_{ba} + \mathbf{F}_{bp}}{m} + \dot{\boldsymbol{\omega}}^{bi}_b \times \mathbf{r}' + \boldsymbol{\omega}^{bi} \times (\boldsymbol{\omega}^{bi} \times \mathbf{r}') \quad X$$

$$\mathbf{a}'_b = \frac{\sum \mathbf{F}_b}{m} - \mathbf{g}_b + \dot{\boldsymbol{\omega}}^{bi}_b \times \mathbf{r}' + \boldsymbol{\omega}^{bi} \times (\boldsymbol{\omega}^{bi} \times \mathbf{r}') \quad XI$$

- Veja que há uma componente tangencial e outra centrípeta, que não correspondem ao movimento do avião. Outros erros de sensor (ruído branco, viés) não foram adicionados ao modelo.
- Forma alternativa

$$\mathbf{a}' = \mathbf{a} + (\boldsymbol{\omega}^{bi} + \boldsymbol{\omega}^{ei}) \times \mathbf{V} + \dot{\boldsymbol{\omega}}^{bi}_b \times \mathbf{r}' + \boldsymbol{\omega}^{bi} \times (\boldsymbol{\omega}^{bi} \times \mathbf{r}') - \mathbf{g}' \quad XII$$

Aproximação de Terra Plana





Aproximação de Terra Plana



Não é essa Terra plana!

Aproximação de Terra Plana

- Equação completa (terra esférica):

$$\mathbf{a} = \frac{1}{m}(\mathbf{F}_a + \mathbf{F}_p) - (\boldsymbol{\omega}^{bi} + \boldsymbol{\omega}^{ei}) \times \mathbf{V} + [\mathbf{g} - \boldsymbol{\omega}^{ei} \times (\boldsymbol{\omega}^{ei} \times \mathbf{r})]$$

- \mathbf{r} é a posição inercial do veículo. Em magnitude:

$$\|\mathbf{r}\| \approx R_e + h \quad (\text{não é igual, porque a Terra é um elipsóide})$$
$$R_e \approx 6400 \text{ km}$$
$$h < 20 \text{ km}$$

- É razoável assumir que $\|\mathbf{r}\|$ é aproximadamente constante em um voo. Então:

$$\mathbf{g}' = [\mathbf{g}(\mathbf{r}) - \boldsymbol{\omega}^{ei} \times (\boldsymbol{\omega}^{ei} \times \mathbf{r})] = \mathbf{g}'_0 = [0 \ 0 \ 9,81]^T$$

será considerado constante.

- Para velocidades baixas, a componente $\boldsymbol{\omega}^{ei} \times \mathbf{V}$ possui efeito pequeno e pode ser desprezada. Obs: esse termo desprezado é o efeito Coriolis que se aprende no ensino médio, causado pela rotação da Terra $\boldsymbol{\omega}^{ei}$.

Aproximação de Terra Plana

- Equação completa (terra esférica):

$$\mathbf{a} = \frac{\mathbf{F}_a + \mathbf{F}_p}{m} - (\boldsymbol{\omega}^{bi} + \boldsymbol{\omega}^{ei}) \times \mathbf{V} + [\mathbf{g}(\mathbf{r}) - \boldsymbol{\omega}^{ei} \times (\boldsymbol{\omega}^{ei} \times \mathbf{r})]$$

Aproximação de Terra plana:

- O sistema S_{NED} é considerado inercial $\boldsymbol{\omega}^{bi} = \boldsymbol{\omega}^{b,NED}$
- Efeitos de curvatura e rotação da Terra desprezados $\boldsymbol{\omega}^{ei} = \mathbf{0}$
- Gravidade constante $\mathbf{g}'_0 = \mathbf{g}(\mathbf{r}) - \boldsymbol{\omega}^{ei} \times (\boldsymbol{\omega}^{ei} \times \mathbf{r})$
- Aceleração:

$$\mathbf{a}_b = \frac{\mathbf{F}_{b_a} + \mathbf{F}_{b_p}}{m} - \boldsymbol{\omega}^{b,NED} \times \mathbf{V} + \mathbf{D}_b^{NED} \mathbf{g}'_0$$

- Posição: \mathbf{p}_{NED}
- Velocidade: $\mathbf{V}_{NED} = \dot{\mathbf{p}}_{NED}$

Movimento de Rotação

- Momento angular de uma partícula:

$$\delta \mathbf{h} = \mathbf{r} \times \mathbf{p} = \mathbf{r} \times \delta m \dot{\mathbf{r}}$$

- É possível mostrar que um objeto rígido composto por infinitas partículas infinitesimais possui o seguinte momento angular:

$$\mathbf{H}_B = \begin{bmatrix} J_{xx} & -J_{xy} & -J_{xz} \\ -J_{xy} & J_{yy} & -J_{yz} \\ -J_{xz} & -J_{yz} & J_{zz} \end{bmatrix} \begin{bmatrix} P \\ Q \\ R \end{bmatrix} \equiv \mathbf{J} \boldsymbol{\omega}_B$$

- \mathbf{H}_B - Momento angular em S_b ; \mathbf{J} - Matrix 3x3, chamada de matriz de inércia, equivale à massa; $\boldsymbol{\omega}_B = \boldsymbol{\omega}^{ei} = [P \ Q \ R]$ - Velocidade angular – equivalente à velocidade; J_{xx} , J_{yy} , J_{zz} - Momentos de inércia; J_{xy} , J_{xz} , J_{yz} - Produtos cruzados de inércia



Movimento de Rotação

- Os momentos de inércia e produto cruzado de inércia podem ser calculados analiticamente (ou numericamente, via software apropriado) através de

$$J_{xx} = \int (y^2 + z^2) dm$$

$$J_{xy} \equiv J_{yx} = \int xy dm.$$

- Veja que, por depender de x, y, z , depende do sistema de coordenadas utilizado. Usualmente, o sistema utilizado é o sistema do corpo, com origem do sistema no CG da aeronave.
- **OBS:** Diagonalização de matrizes



Movimento de Rotação

- A segunda lei de Newton, para movimento de rotação, é

$$\mathbf{T} = \dot{\mathbf{H}}$$

- (somatório de torques é igual à derivada do momento angular no sistema inercial).
- Fontes de torque:
 - Superfícies de controle (torques aerodinâmicos)
 - Fontes de empuxo desalinhadas com o CG



Movimento de Rotação

- Usando

$$\mathbf{T} = \dot{\mathbf{H}}, \quad \mathbf{H}_b = \mathbf{J}\boldsymbol{\omega}_b^{bi}$$

- Calcula-se:

$$\begin{aligned} \mathbf{T}_b = \dot{\mathbf{H}}_i &= \dot{\mathbf{H}}_b + \boldsymbol{\omega}_b^{bi} \times \mathbf{H}_b = \mathbf{J}_b \dot{\boldsymbol{\omega}}_b^{bi} + \boldsymbol{\omega}_b^{bi} \times \mathbf{J}_b \boldsymbol{\omega}_b^{bi} \\ \dot{\boldsymbol{\omega}}_b^{bi} &= \mathbf{J}_b^{-1} (\mathbf{T}_b - \boldsymbol{\omega}_b^{bi} \times \mathbf{J}_b \boldsymbol{\omega}_b^{bi}) \end{aligned}$$

- Pode ocorrer mudança na matriz de inércia:
 - Consumo de combustível
 - Escoamento de combustível entre asas
 - Lançamento de carga durante voo
- Entretanto, assumiu-se $\dot{\mathbf{J}} = \mathbf{0}$, pois costuma-se resolver o efeito da mudança de \mathbf{J} desenvolvendo-se um controlador distinto para cada caso.



Movimento de Rotação

$$J^{-1} = \begin{bmatrix} k_1 & k_2 & k_3 \\ k_2 & k_4 & k_5 \\ k_3 & k_5 & k_6 \end{bmatrix},$$

$$k_1 = \frac{J_{yy}J_{zz} - J_{yz}^2}{\Delta}, \quad k_2 = \frac{J_{yz}J_{zx} + J_{xy}J_{zz}}{\Delta}$$

$$k_3 = \frac{J_{xy}J_{yz} + J_{zx}J_{yy}}{\Delta}, \quad k_4 = \frac{J_{zz}J_{xx} - J_{zx}^2}{\Delta}$$

$$k_5 = \frac{J_{xy}J_{zx} + J_{yz}J_{xx}}{\Delta}, \quad k_6 = \frac{J_{xx}J_{yy} - J_{xy}^2}{\Delta}$$

$$\Delta = J_{xx}J_{yy}J_{zz} - 2J_{xy}J_{yz}J_{zx} - J_{xx}J_{yz}^2 - J_{yy}J_{zx}^2 - J_{zz}J_{xy}^2$$



Movimento de Rotação

- Muitas aeronaves possuem simetria no plano xz, ou seja, a metade da esquerda pode ser obtida espelhando a metade direita. Nesse caso, $J_{xy} = J_{yz} = 0$, simplificando as equações

$$J = \begin{bmatrix} J_x & 0 & -J_{xz} \\ 0 & J_y & 0 \\ -J_{xz} & 0 & J_z \end{bmatrix}, \quad J^{-1} = \frac{1}{\Gamma} \begin{bmatrix} J_z & 0 & J_{xz} \\ 0 & \Gamma & 0 \\ J_{xz} & 0 & J_x \end{bmatrix}$$

$$\Gamma = J_x J_z - J_{xz}^2$$

Movimento de Rotação

- Definindo o torque $T_B = [\bar{L} \ M \ N]$ e usando as equações simplificadas:

$$\Gamma \dot{P} = J_{xz} [J_x - J_y + J_z] PQ - [J_z(J_z - J_y) + J_{xz}^2] QR + J_z \bar{L} + J_{xz} N$$

$$J_y \dot{Q} = (J_z - J_x) PR - J_{xz}(P^2 - R^2) + M$$

$$\Gamma \dot{R} = [(J_x - J_y)J_x + J_{xz}^2] PQ - J_{xz} [J_x - J_y + J_z] QR + J_{xz} \bar{L} + J_x N$$

- As equações são acopladas e não-lineares. Mesmo assumindo um objeto com simetria nos 3 planos, as equações continuam acopladas e não-lineares:

$$\dot{P} = \frac{(J_y - J_z)QR}{J_x} \quad \dot{Q} = \frac{(J_z - J_x)PR}{J_y} \quad \dot{R} = \frac{(J_x - J_y)PQ}{J_z}$$

- Destaca-se o efeito giroscópico: velocidades angulares em dois eixos causam aceleração no terceiro, mesmo sem torques externos. Exemplo:

<https://www.youtube.com/watch?v=1n-HMSCDYtM>

<https://www.youtube.com/watch?v=BPMjcn-sBJ4>

<https://www.youtube.com/watch?v=GeyDf4ooPdo>



Movimento de Rotação

- Definindo o torque $T_B = [\bar{L} \ M \ N]$ e usando as equações simplificadas:

$$\Gamma \dot{P} = J_{xz} [J_x - J_y + J_z] PQ - [J_z(J_z - J_y) + J_{xz}^2] QR + J_z \bar{L} + J_{xz} N$$

$$J_y \dot{Q} = (J_z - J_x) PR - J_{xz}(P^2 - R^2) + M$$

$$\Gamma \dot{R} = [(J_x - J_y)J_x + J_{xz}^2] PQ - J_{xz}[J_x - J_y + J_z] QR + J_{xz} \bar{L} + J_x N$$

- As equações são acopladas e não-lineares. Mesmo assumindo um objeto com simetria nos 3 planos, as equações continuam acopladas e não-lineares:

$$\dot{P} = \frac{(J_y - J_z)QR}{J_x} \quad \dot{Q} = \frac{(J_z - J_x)PR}{J_y} \quad \dot{R} = \frac{(J_x - J_y)PQ}{J_z}$$

- Destaca-se o efeito giroscópico: velocidades angulares em dois eixos causam aceleração no terceiro, mesmo sem torques externos. Exemplo:

https://www.youtube.com/watch?v=1VPfZ_XzisU



Movimento de Rotação

- Motor de rotação adiciona momento de inércia à aeronave:

$$\mathbf{H}_B = J\boldsymbol{\omega}_B + \begin{bmatrix} h_x \\ h_y \\ h_z \end{bmatrix}$$

- O momento extra gera termos extras nas 3 equações do slide anterior:

$$\begin{aligned} & J_z(Rh_y - Qh_z) + J_{xz}(Qh_x - Ph_y) \\ & - Rh_x + Ph_z \\ & J_{xz}(Rh_y - Qh_z) + J_x(Qh_x - Ph_y) \end{aligned}$$

Atitude

- 1) A atitude depende da sequência de rotação 3-2-1.
- 2) A velocidade angular pode ser vista como pequenas rotações instantâneas nos 3 eixos do corpo. A velocidade angular não depende da sequência de rotação.
- As informações 1) e 2) mostram que a velocidade angular **não é** a derivada dos ângulos de Euler. Pode-se mostrar que a relação entre ambas é:

$$\frac{d}{dt} \begin{bmatrix} \phi \\ \theta \\ \psi \end{bmatrix} = \begin{bmatrix} 1 & \tan \theta \sin \phi & \tan \theta \cos \phi \\ 0 & \cos \phi & -\sin \phi \\ 0 & \frac{\sin \phi}{\cos \theta} & \frac{\cos \phi}{\cos \theta} \end{bmatrix} \begin{bmatrix} P \\ Q \\ R \end{bmatrix}$$
$$\dot{\Phi} = \mathcal{Z}(\Phi) \omega, \quad \text{where } \Phi = [\phi, \theta, \psi]^T$$

- $\omega = \omega^{b,NED} = [P \ Q \ R]$
- Veja que a matriz acima **não é** uma matriz de rotação



Atitude

- A transformação inversa:

$$\begin{bmatrix} P \\ Q \\ R \end{bmatrix} = \begin{bmatrix} 1 & 0 & -s\Theta \\ 0 & c\Phi & c\Theta s\Phi \\ 0 & -s\Phi & c\Theta c\Phi \end{bmatrix} \begin{bmatrix} \dot{\Phi} \\ \dot{\Theta} \\ \dot{\Psi} \end{bmatrix}$$

Modelo Completo – Terra Esférica

$$\begin{bmatrix} \dot{\mathbf{p}} \\ \dot{\mathbf{v}}_B \\ \dot{\boldsymbol{\omega}}_B \\ \dot{\mathbf{q}} \end{bmatrix} = \begin{bmatrix} \Omega_E & B^T & 0 & 0 \\ B\mathbf{g}(\mathbf{p}) - B\Omega_E^2 & -(\Omega_B + B\Omega_E) & 0 & 0 \\ 0 & 0 & -J^{-1}\Omega_B J & 0 \\ 0 & 0 & 0 & -\frac{1}{2}\Omega_q \end{bmatrix} \begin{bmatrix} \mathbf{p} \\ \mathbf{v}_B \\ \boldsymbol{\omega}_B \\ \mathbf{q} \end{bmatrix} + \begin{bmatrix} 0 \\ \frac{\mathbf{F}_B}{m} \\ J^{-1}\mathbf{T}_B \\ 0 \end{bmatrix}$$

$$\Omega_E = \begin{bmatrix} 0 & 0 & 0 \\ 0 & 0 & -\omega_x \\ 0 & \omega_x & 0 \end{bmatrix}, \quad \Omega_B = \begin{bmatrix} 0 & -R & Q \\ R & 0 & -P \\ -Q & P & 0 \end{bmatrix},$$

$$\Omega_q = \begin{bmatrix} 0 & P & Q & R \\ -P & 0 & -R & Q \\ -Q & R & 0 & -P \\ -R & -Q & P & 0 \end{bmatrix},$$

$\boldsymbol{\omega}^{bi} = [P \ Q \ R]^T$. O modelo de Terra esférica parametriza a atitude utilizando quaternions, que não estudamos

Modelo Completo – Terra Plana

- Nos slides anteriores, foi visto:
- Posição e derivadas, afetadas por forças de entrada
- Posição angular e derivadas, afetadas por torque de entrada
- Atitude, afetada pela velocidade angular
- Unindo todas as equações, e utilizando a aproximação de Terra plana, tem-se:

$$\begin{bmatrix} \dot{V}_b \\ \dot{\omega}^{bi} \\ \dot{\Phi} \\ \dot{p}_{NED} \end{bmatrix} = \begin{bmatrix} -[\omega^{bi}]_{\times} V_b + D_b^{NED} g'_0 \\ -J^{-1}[\omega^{bi}]_{\times} J \omega^{bi} \\ \mathcal{E}(\Phi) \omega^{bi} \\ D_{NED}^b V_b \end{bmatrix} + \begin{bmatrix} \frac{1}{m} I_3 & \mathbf{0} \\ \mathbf{0} & J^{-1} \\ \mathbf{0} & \mathbf{0} \\ \mathbf{0} & \mathbf{0} \end{bmatrix} \begin{bmatrix} F_b \\ T_b \end{bmatrix}$$

- Veja que a solução é um modelo em espaço de estados. O modelo, entretanto, é não linear, e matrizes apenas ajudam a enfatizar o vetor de estados x cujos estados são V_b , ω^{bi} , Φ e p_{NED} . Veja que há forte acoplamento entre as equações.

Modelo Completo – Terra Plana

- Definindo

$${}^i\mathbf{R}_b = \mathbf{U}_b = \begin{bmatrix} U \\ V \\ W \end{bmatrix} \quad \omega_b^{bi} = \begin{bmatrix} P \\ Q \\ R \end{bmatrix} \quad {}^{ib}\mathbf{R}_b = {}^b\mathbf{U}_b = \begin{bmatrix} \dot{U} \\ \dot{V} \\ \dot{W} \end{bmatrix}$$

- Pode-se reescrever as equações matriciais de força e torque como:

$$\mathbf{F}_b = \begin{bmatrix} F_{xb} \\ F_{yb} \\ F_{zb} \end{bmatrix} = \mathbf{M} {}^i\mathbf{U}_b = \mathbf{M} \begin{bmatrix} \dot{U} + QW - VR \\ \dot{V} + UR - PW \\ \dot{W} + PV - UQ \end{bmatrix}$$
$$\begin{bmatrix} \bar{L} \\ M \\ N \end{bmatrix} = \begin{bmatrix} I_{xx}\dot{P} + (RP - \dot{Q})I_{xy} - (\dot{R} + PQ)I_{xz} + (R^2 - Q^2)I_{yz} + QR(I_{zz} - I_{yy}) \\ I_{yy}\dot{Q} + (PQ - \dot{R})I_{yz} - (\dot{P} + QR)I_{xy} + (P^2 - R^2)I_{xz} + RP(I_{xx} - I_{zz}) \\ I_{zz}\dot{R} + (QR - \dot{P})I_{xz} - (\dot{Q} + RP)I_{yz} + (Q^2 - P^2)I_{xy} + PQ(I_{yy} - I_{xx}) \end{bmatrix}$$